## التفاعلات الوراثية x البيئية وتحليل ثباتية الغلة لطرز وراثية من القمح الطري باستخدام نموذج AMMI Biplot

هبة محمد منصور  $^{*}$  (1) و بولص اسكندر خوري (1)

(1). قسم المحاصيل الحقلية، كلية الهندسة الزراعية، جامعة تشرين، اللاذقية، سورية.

(\*للمراسلة: م. هبة منصور، البريد الالكتروني: hibamuhammedmansour@gmail.com ).

تاريخ الاستلام: 2024/2/25 تاريخ القبول: 9/2/2024

#### الملخص

أستخدم نموذج AMMI Biplot لتقييم التفاعلات الوراثية x البيئية وتحليل ثباتية الغلة لـِ 15 طرازاً وراثياً من القمح الطري في 4 مواقع بيئية متباينة في سورية (الغاب، حريصون، حمين، ودرميني) خلال موسم 2020-2021، نُفِّذت التجربة في المواقع الأربعة وفق تصميم القطاعات العشوائية الكاملة (R.C.B.D) بثلاثة مكررات، حُلِّلت البيانات إحصائياً باستخدام برنامج GenStat 12th، حيث يجمع تحليل AMMI Biplot بين تحليل التباين التجميعي وتحليل المكونات الرئيسة (PCA)، بيَّنت نتائج تحليل التباين التجميعي وجود فروق معنوية بين كل من: الطرز الوراثية المدروسة (G)، المواقع البيئية المختبرة (E)، والتفاعل بينهما (GxE)؛ مما يشير إلى ضرورة تقييم واختبار الطرز الوراثية المدروسة في مواقع عديدة. بيّنت نتائج تحليل التباين وفق نموذج AMMI أن المكونين الرئيسيين الأول والثاني كانا معنويين وفسَّرا 88% من التباينات الكلية؛ مما يدلُّ على كفاءة هذا النموذج في تمثيل وتفسير التفاعلات الوراثية x البيئية، كما قُرِّرت قيمة ثباتية AMMI (A.S.V) لترتيب الطرز الوراثية المدروسة تبعاً لثباتيتها، وعلى أساس هذه القيمة كان للسلالة المبشِّرة دوما 68498 تليها السلالة أكساد 1300 ثباتية عالية. أشارت نتائج تحليل AMMI إلى أن أكثر الطرز الوراثية المدروسة ثباتية هما السلالتان المبشرتان دوما 68498 ودوما 68467، وأبدى الصنف جولان2 تكيف خاص وملاءمة جيدة مع موقع درميني، بينما تكيفت السلالتان المبشرتان أكساد1147 و أكساد 1115 مع موقعَى حمين وحريصون، كما أوضحت النتائج أن موقع الغاب هو أفضل المواقع البيئية المختبَرة. أما أفضل الطرز الوراثية المدروسة التي جمعت بين الغلة المتفوقة والثباتية العالية هما السلالتان المبشرتان دوما 66241 و دوما 66981، وتمثلان الطراز الوراثي المثالي المرغوب من قبل مربّى النبات، أظهرت الدراسة أن مقاييس الثباتية المستنبطة من نموذج AMMI تعطى مؤشرات متقاربة من حيث تحديد ثباتية الطرز الوراثية، وتفيد بإمكانية تحسين عملية انتخاب واعتماد الأصناف الجديدة في برامج التربية باستخدام طريقة AMMI Biplot.

الكلمات المفتاحية: AMMI Biplot، قمح طري، ثباتية الغلة، تحليل المكونات الرئيسة، الطراز A.S.V، قيمة

#### المقدمة:

تُعرَف التفاعلات الوراثية x البيئية بأنها اختلاف أداء الطرز الوراثية باختلاف البيئات او استجابة الطرز الوراثية بصورة مختلفة مع أداء مستقر لا يتأثر اختلاف وتغير الظروف البيئية، والصنف المثالي هو الصنف الذي يتميز بمتوسط غلة مرتفعة مترافقة مع أداء مستقر لا يتأثر بالتقلبات البيئية (Kang, 2004)، يواجه مربو النبات عادة التفاعلات الوراثية عند اختبار الأصناف المحسنة في برامج التربية؛ لذلك فإنهم عادة ما يختبرون الطرز الوراثية في سلسلة من البيئات المتعددة والمتباينة قبل أن يتم اعتمادها وتوزيعها على المزارعين (Neisse et al.,2018). هذه السلسلة من البيئات تسمى اصطلاحاً ب تجارب البيئات المتعددة المختلفة وضرورية لاختبار وتحديد الطرز الوراثية ذات التكيف الواسع مع البيئات المختلفة وتلك الأخرى التي تتمتع بتكيف خاص مع بيئة محددة (Malik et al., 2018).

على الرغم من أن اختبار الطرز الوراثية في أي برنامج تربية يتم في مواقع متعددة ولعدة سنوات لضمان انتخاب طرز وراثية تتمتع بأداء جيد ومقبول في بيئات مختلفة، لكنّ تفسير وتحليل البيانات من هذه البيئات المتعددة بشكل فعال لا يزال يشكِّل تحدياً صعباً لمرِّبي النبات، وهناك مهمتان رئيسيتان تقع على عانقهم، الأولى تحديد فيما إذا كانت المنطقة المستهدفة متجانسة أو ينبغي تقسيمها إلى بيئات كبرى متباينة، والثانية هي انتخاب الطرز الوراثية المتفوقة وذات الثباتية العالية (Pupin et al., 2018).

إن الوعي المتنامي لأهمية التفاعلات الوراثية x البيئية قد زاد من دور البيئات المتعددة والحقول الاختبارية عند اعتماد الأصناف أو خلال المراحل النهائية من برامج التربية والانتخاب, كما أن تحليل تأثيرات التفاعل الوراثي x البيئي باستخدام الطرق المناسبة بدلاً من تجاهلها سيفيد في الكشف عن المزيد من الفرص لتحسين الأصناف المزروعة, والحد من المساوئ التي تحدثها هذه التأثيرات (Annicchiarico, 2002). يهتم مربو النبات في دراسة تأثير التفاعل بين الطرز الوراثية والبيئة لسببين: الأول أنه يخفض التقدم المتوقع من العملية الانتخابية، والثاني أنه يجعل عملية اعتماد الأصناف صعبة حيث أنه من الصعب إحصائياً تفسير العامل الأساسي المؤثر في الصنف (Gauch and Zobel, 1997).

اقترحت العديد من الطرق الوراثية الإحصائية لتقدير التفاعلات الوراثية x البيئية وتحليل الثباتية، يمكن تقسيمها إلى مجموعتين: Parametric مزودة بمقاييس ومؤشرات وراثية خاصة بتحليل الثباتية، وطرق لاقياسية Parametric مزودة بمقاييس ومؤشرات المختلفة (Kang, 2020). من بين الطرق الإحصائية القياسية تعد طريقة تحليل على مقارنة تراتيب الطرز الوراثية في البيئات المختلفة (Kang, 2020). من بين الطرق الإحصائية القياسية تعد طريقة تحليل التأثيرات الرئيسة التراكمية والتفاعل المتعدد (Additive Main Effects and Multiplicative Interactions (AMMI) من أهم الطرق وأكثرها استخداماً، وهي وسيلة وأداة تحليلية فعّالة لتحديد نمط وحجم التفاعلات الوراثية بالبيئية، وبالتالي استغلال هذه التفاعلات في دعم قرارات برامج التربية مثل تحديد الطرز الوراثية ذات التكيف الواسع أو الخاص والبيئات المثالية للانتخاب التفاعلات في دعم قرارات برامج التنائج بشكل مخططات بيانية ثنائية الأبعاد تسمًى (Gauch and Zobel, 1997)، حيث تُمثِّل كلاً من الطرز الوراثية والبيئات التي تتفاعل بصورة متشابهة باستخدام تقنية الأشعة المفردة (Ebdon and Gauch, 2002).

على الرغم من أهمية تحليل الثباتية في برامج تربية المحاصيل الاستراتيجية, إلا أن المراكز البحثية المحلية والعربية لا تقوم بتحليل الثباتية بشكل منتظم, بدلاً من ذلك يطورون فهماً كاملاً للبيئات المستهدفة ومدى تأقلم مادتهم الوراثية معها، من خلال تقييم ومقارنة السلالات الجديدة بأفضل الأصناف المعتمدة في العديد من المواقع البيئية وإجراء تحليل إحصائي مركب اعتماداً على

متوسطات الغلة وعلى خبرة المربي؛ لذلك نعتقد أنه لابد من إجراء تحليل وراثي إحصائي خاص بالثباتية في المراحل النهائية من برامج التربية لانتخاب وتحديد الطرز الوراثية المتقوقة والمتأقلمة مع مدى واسع من البيئات قبل اعتمادها وتوزيعها على المزارعين.

هدفت هذه الدراسة إلى تقييم التفاعلات الوراثية x البيئية باستخدام طريقة AMMI Biplot، وتحديد الطرز الوراثية المتفوقة في الغلة وعالية الثباتية عبر المواقع البيئية المتباينة، والطرز الوراثية المتلائمة مع بيئة محددة (المتفوقة في كل بيئة)، وتحديد الموقع الأفضل لاختبار وانتخاب الطرز الوراثية المتفوقة.

## مواد البحث وطرائقه:

أختبِر خمسة عشر طرازاً وراثياً من القمح الطري (.Triticum aestivum L.)، تضمنت إحدى عشرة سلالة مبشِّرة وأربعة أصناف معتمدة، تم الحصول عليها من الهيئة العامة للبحوث العلمية الزراعية (GCSAR) دمشق-سورية، ومن المركز العربي لدراسات المناطق الجافة والأراضي القاحلة (ACSAD)، الواردة في الجدول (1).

الجدول (1): الطرز الوراثية المدروسة، نسبها وبعض صفاتها.

النسب وبعض المواصفات	الطراز الوراثي	الرمز
4WON-IR-257/5/YMH/HYS//HYS/TUR3055/3/DGA /4/ VPM / MOS	السلالة دوما 66233	G1
VEE/PJN//2*KAUZ/3/SHUHA-4/FOW-2	السلالة دوما 68010	G2
ATTILA 50Y//ATTILA/BCN/3/PFAU/MILAN	السلالة دوما 66241	G3
SERI.1B*2/3/KAUZ*2/BOW//KAUZ/4/TEVEE'S'/BOBWHITE #1	السلالة دوما 66981	G4
ATTILA*2/PBW65//PFAU/MILAN	السلالة دوما 68467	G5
P1.861/RDWG//DAJAJ-10	السلالة دوما 68498	G6
ACSAD 901/3/NAC/VEE'S'//TEMMU196.74/TITO'S' ACS – W – 10472 (2007) – 5IZ – 11Z-11Z-01Z	السلالة أكساد 1300	<b>G7</b>
ACS – W – 10472 (2007) – 51Z – 11Z-11Z-01Z  ACSAD 901/3/NAC/VEE'S'//TEMMU196.74/TITO'S'  ACS – W – 10472 (2007) – 51Z – 11Z-21Z-01Z	السلالة أكساد 1302	G8
ACSAD 901/3/NAC/VEE'S'//TEMMU196.74/TITO'S' ACS – W – 10472 (2007) – 5IZ – 11Z-31Z-01Z	السلالة أكساد 1304	G9
W3918A/ JUP// NS732/ Her /3/ Florkwa -3	السلالة أكساد 1115	G10
ACS – W -9523- 6IZ -1IZ- 0IZ		
Chat's' // KVZ/ cgn /3/ BAU's' /4/ Karawan2	السلالة أكساد 1147	G11
ACS – W -9669- 15IZ -1IZ - 1IZ- 0IZ		
صنف معتمد من GCSAR ، اعتمد عام 1991، غلته 3.785 طن/ه.	الصنف بحوث 6	G12
ACSAD 529 /4/ C182-24 / C168.3 /3/ Con*2/ 7C // Cc/ Tob	الصنف دوما 4	G13
ACS – W -8024 -14IZ – 1IZ – 3IZ –OIZ		
اعتمد عام 2007، غلته 2.375 طن/ه في منطقة الاستقرار الثانية في سورية.		
Snb's // shi # 4414/ crow's'/ crow's'	الصنف دوما 6	G14
ACS – W -9678- 23IZ -2IZ -0IZ		
اعتمد عام 2014، غلته 4.2 طن/ه، منطقة الاستقرار الأولى.		
صنف معتمد من GCSAR ، اعتمد عام 2007، غلته 4.575 طن/ه، منطقة الاستقرار الأولى.	الصنف جولان2	G15

## مواقع تنفيذ البحث:

## نُفِّذ البحث في أربعة مواقع بيئية متباينة في سورية وهي:

- الموقع الأول: قرية حريصون التابعة لمنطقة بانياس محافظة طرطوس، والواقعة على الحدود الإدارية لمحافظة اللاذقية،
   ترتفع حوالي 10م فوق سطح البحر.
- الموقع الثاني: في قرية درميني التابعة لمحافظة اللاذقية، تبعد 20 كم عن مدينة جبلة، وترتفع 750م فوق سطح البحر.
  - الموقع الثالث: في قرية حمين التابعة لمحافظة طرطوس، تبعد عنها 25 كم، وترتفع 400م فوق سطح البحر.
  - الموقع الرابع: منطقة الغاب-محافظة حماة، تبعد عن مركز المحافظة 8 كم، وترتفع 190 م عن سطح البحر.

## طريقة الزراعة:

زُرعت التجارب في المواقع الأربعة خلال موسم 2020-2021 م في بداية شهر كانون أول، بثلاثة مكررات، تمت فلاحة الأرض عميقاً من أجل التخلص من الأعشاب الضارة وبقايا المحصول السابق. قُسِّمت الأرض إلى قطع تجريبية، تضمنت كل قطعة 4 مطور، طول السطر 1 متر، والمسافة بين سطر وآخر 25 سم، بين نبات وآخر 3 سم، وبين كل قطعة تجريبية وأخرى 50 سم.

## تحليل التباين التجميعي:

نُقِّذَت التجربة في المواقع البيئية الأربعة وفق تصميم القطاعات العشوائية الكاملة (R.C.B.D)، لحساب أقل فرق معنوي (L.S.D) عند مستوى 5% بين الطرز الوراثية والمواقع والتفاعل بينهما، وأُجري تحليل التباين التجميعي لصفة الغلة الحبية عبر المواقع البيئية المختبرة تبعاً لنموذج AMMI Biplot باستخدام برنامج GenStat 12<sup>th</sup> edition للتأكد من وجود فروق معنوية بين كلِ من الطرز الوراثية (G)، المواقع البيئية المختبرة (L.S.D)، والتفاعل بينهما (GXL).

## تحليل الثباتية وفق طريقة AMMI Biplot:

مكّن تطور علم الإحصاء واستخدام البرامج الحاسوبية من استكشاف جزء أكبر من التفاعلات الوراثية x البيئية حتى وصل إلى مكّن تطور علم الإحصاء واستخدام البرامج الحاسوبية من استكشاف جزء أكبر من Gollop (1968) واقترحت طريقة AMMI Biplot من قبل (Gauch,1996) ومن ثم طوّرت من قبل العديد من الباحثين منهم ,Gauch, 2006; Yan et al., 2007; Gauch et al., 2008; Farshadfar et al. وهي ملائمة لتحليل التجارب التي تتضمن حجم كبير من البيانات وعدد أكبر من الطرز الوراثية والبيئات مقارنة بطرق أخرى.

يعتمد تحليل Pooled Analysis of Variance على إجراء تحليل التباين التجميعي AMMI Biplot متبوعاً بتحليل المكونات الأساسية Gauch, 1988; Gauch and Zobel, 1996) Principal Components Analysis ويُستخدّم تحليل المكونات الرئيسة (PCA) من قبل الباحثين ومربّي النبات في تقسير وتحليل بيانات التجارب التي يتم فيها جمع قدر كبير من البيانات وللعديد من المتغيرات كما في تجارب البيئات المتعددة، لذا يحتاج مربو النبات إلى أسلوب إحصائي يساعد في اختصار البيانات والمتغيرات، ومن هنا تبرز أهمية تحليل المكونات الرئيسة لاختزال وتلخيص أكبر قدر ممكن من البيانات وتحويلها إلى مجموعة أصغر بكثير من المتحولات المستقلة تدعى بالمكونات الرئيسة (Smith, 2002).

من أهم خصائص نموذج AMMI هو إمكانية الحصول على مخططات بيانية تمثّل الطرز الوراثية والبيئات وتفسّر التفاعلات بينها بسهولة ووضوح، وانطلاقاً من أن نموذج AMMI غير مزوّد بمقياس كمي Quantitative Measure اقترح هذه (1997) مقياساً مشتقاً من نموذج AMMI هو قيمة أو دليل ثباتية الطرز الوراثية تبعاً لثباتيتها وفق المعادلة التالية:  $SSPCA_1/SSPCA_2$  ميث  $SSPCA_1/SSPCA_2$  ميث  $SSPCA_1/SSPCA_2$  ميث  $SSPCA_1/SSPCA_2$  مقسومة على مجموع مربعات قيم  $SSPCA_1/SSPCA_2$  مقسومة على مجموع مربعات قيم  $SSPCA_1/SSPCA_2$  تمثّل قيمة المكون الرئيس الأول للطراز الوراثي المدروس،  $SSPCA_1/SSPCA_2$  قيمة المكون الرئيس الثاني للطراز الوراثي المدروس.

## النتائج والمناقشة:

يظهر في الجدول (2) نتائج تحليل التباين التجميعي لصفة الغلة الحبية وفقاً لنموذج AMMI، بين التحليل أن 51% من التباينات الكلية عائدة للتباين بين الطرز الوراثية المدروسة، 39% للتفاعلات الوراثية x البيئية، و 10% للتأثيرات البيئية وكانت جميعها معنوية؛ مما يشير إلى أن الطرز الوراثية المدروسة قد استجابت بصورة مختلفة للمواقع البيئية المتباينة، وبالتالي ضرورة دراسة الاستجابات المختلفة للطرز الوراثية باختلاف البيئات والتأكّد من ثباتيتها؛ لأن التفاعلات الوراثية x البيئية المعنوية تقلل الارتباط بين القيمة الوراثية والقيمة المظهرية لصفة الغلة الحبية وتخفّض كفاءة الانتخاب وتعيق تحقيق التقدّم الوراثي المنشود PCA1 و PCA1)، كما يُظهر تحليل التباين أن المكونين الرئيسيين الأول والثاني PCA1 و PCA2 كانا معنويين وفسًرا 88% من التباينات الكلية الموجودة، ولم تتجاوز النسبة المتبقية من التباينات غير المفسرة 11%، مما (Kaya et al.,2002; Gauch & Zobel,1997).

الجدول (2): تحليل التباين وفق نموذج AMMI لصفة الغلة الحبية.

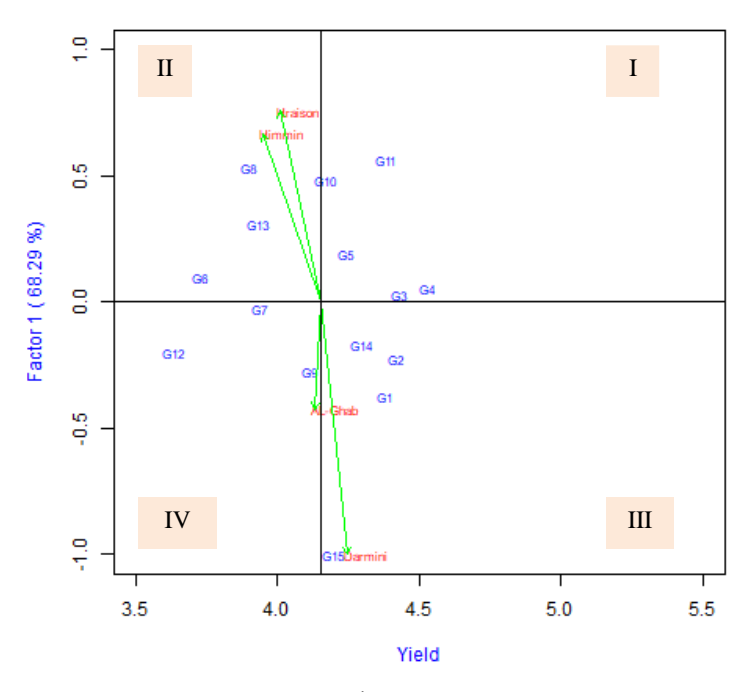
النسبة التراكمية Accumulated	النسبة المئوية للتباين المفسّر	M.S	S.S	D.F	مصادر التباين
		0.416*	24.526	59	المعاملات
51.130	51.130	0.896*	12.541	14	الطرز الوراثية (G.)
60.890	9.760	0.798*	2.393	3	المواقع البيئية (E.)
100	39.109	0.228*	9.592	42	التفاعلات G.E
		0.042	0.337	8	المكررات (R. in E.)
68.290	68.290	0.409*	6.549	16	IPCA <sub>1</sub>
88.229	19.939	0.137*	1.913	14	IPCA <sub>2</sub>
100	11.771	0.094	1.129	12	المتبقي Residual
		0.033	3.7	112	الخطأ Error
		0.160	28.563	179	الكلي Total

يظهر في مخطط AMMI<sub>1</sub> Biplot (الشكل 1) توزُّع الطرز الوراثية والمواقع البيئية المختبرة تبعاً لمتوسط غلتها الحبية وقيم PCA<sub>1</sub> معقبل محور السينات X-abscissa مقابل قيم المكون الرئيس الأول PCA<sub>1</sub> للطرز الوراثية والمواقع البيئية على محور العينات Y-ordinate بعضها سواءً الطرز الوراثية أو المواقع يكون لها نفس متوسط الغلة الحبية، والتي تقع على نفس المستوى الأفقي يكون لها نفس النمط من التفاعلات الوراثية أو المواقع يكون لها نفس متوسط الغلة الحبية، والتي تقع على نفس المستوى الأفقي المهام النبيئية من التفاعلات الوراثية x البيئية وحساسية أعلى تجاه التغيرات البيئية، أي أن الطرز الوراثية التي تملك قيم PCA<sub>1</sub> صفرية أو قريبة من الصفر تكون قليلة التأثر بالعوامل البيئية ومتكيفة مع جميع المواقع البيئية المختبرة، وقيم PCA<sub>1</sub> المنخفضة للمواقع البيئية تدل على انخفاض تأثير التفاعلات الوراثية x البيئية فيها (Gauch and Zobel,1996).

ينتج من مخطط AMMI<sub>I</sub> تقسيم استجابات الطرز الوراثية والمواقع البيئية المختبرة إلى 4 أنماط: طرز وراثية عالية الغلة منخفضة الثباتية (G8,G13,G12)، طرز وراثية منخفضة الثباتية (G8,G3,G13,G12)، طرز وراثية منخفضة الغلة عالية الثباتية (G4,G3,G14,G5)، وهي بذلك أفضل الطرز الوراثية المدروسة لأنها تجمع بين الغلة المتفوقة والثباتية العالية في جميع المواقع البيئية المختبرة وتمثِّل الطرز ذات التكيف الواسع المرغوبة من قبل مربّى النبات.

عموماً تتفاعل الطرز الوراثية والمواقع البيئية المختبرة التي تملك نفس الإشارة من قيم PCA<sub>1</sub> ايجاباً، أي تعطي إنتاجية أعلى ضمن هذه المواقع، وهذا ما يلاحظ بالنسبة للطراز الوراثي G15 الذي يُظهر تفاعلاً ايجابياً عالياً في موقع درميني، وكان لديه قدرة عالية على استغلال الظروف البيئية والزراعية فيها وبذلك هو الأنسب لهذا الموقع، والأمر نفسه بالنسبة لـ G1 و G2 في موقع الغاب، G11 و G10 في حمين وحريصون، أما الطرز الوراثية والمواقع البيئية التي تكون من إشارات متعاكسة بالنسبة لقيم PCA<sub>1</sub> تتفاعل سلباً (G1 و G2 في كلِ من حمين وحريصون، و G15 في حمين وحريصون).

#### AMMI PCA1 Score vs Yield from a RCB

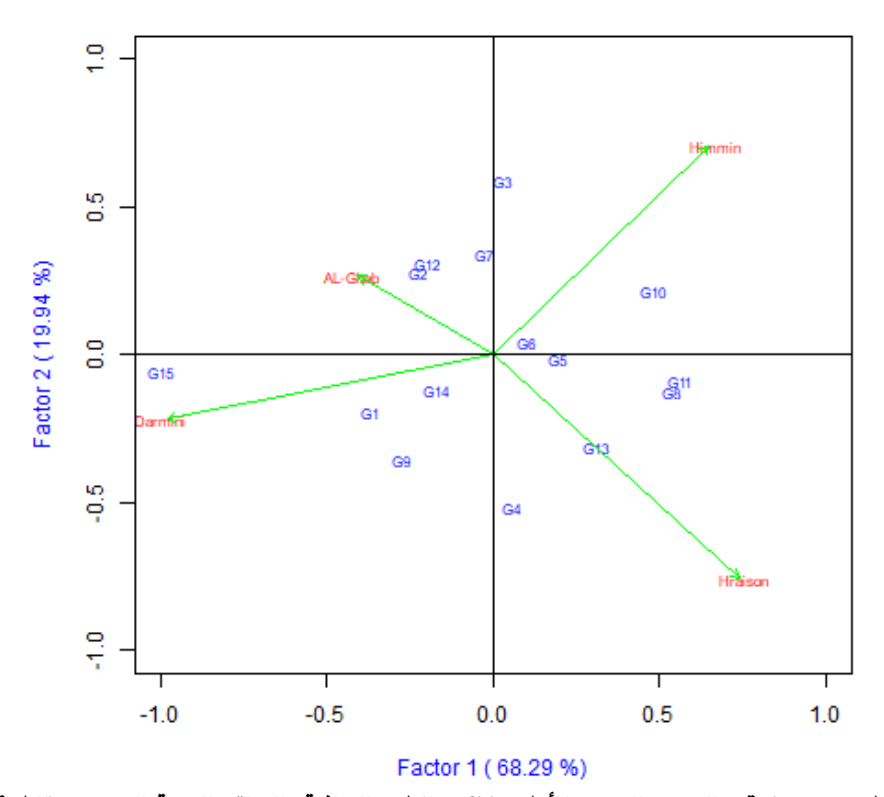


الشكل (1): مخطط AMMI لتوزع الطرز الوراثية المدروسة تبعاً لمتوسط الغلة الحبية وقيم المكون الرئيس الأول PCA1.

Mansour and Khoury-Syrian Journal of Agriculture Research-SJAR 12(4):585-596 August 2025

يتم إنشاء مخطط AMMI2 (الشكل 2) باستخدام قيم المكون الرئيس الأول PCA1 للطرز الوراثية والمواقع البيئية المختبرة على محور X مقابل قيم المكون الرئيس الثاني PCA2 للطرز الوراثية والمواقع البيئية على محور X وذلك لأن المكون الرئيس الثاني أيضاً يساهم في تقسير جزء من التفاعلات الوراثية x البيئية (Vargas and Crossa,2000)، يستخدم هذا المخطط لشرح وتقسير التفاعلات الوراثية x البيئية وتأثيراتها بصرياً، أوضح (1997) Purchase (1997)، يستخدم هذا المخطط لشرح منتصف المخطط وأقرب للمركز (0,0) تكون أقل حساسية وتأثيراً بالتغيرات البيئية، بناءً على ذلك فإن الطرز الوراثية المدروسة الأكثر ثبانية هي:  $\{G6,G5,G14,G2,G12,G7\}$ ، وأقلها ثبانية الطرز  $\{G6,G5,G14,G2,G12,G7\}$ . أما بالنسبة للمواقع البيئية المختبرة فإن المواقع البيئية المخطط وموقع البيئية على المخطط يعكس مساهمة البيئة بالتفاعلات الوراثية  $\{G6,G5,G14,G2,G12,G7\}$ . الميئية ذات الأشعة الأقصر لا تمارس قوى تفاعلية شديدة على الطرز الوراثية المزروعة فيها والعكس صحيح المواقع البيئية ذات الأشعاء الأوصل بين مركز المخطط المواقع البيئية الأقل كانت في موقع الغاب (الشعاع الأقصر والأقرب للمركز) وكان أداء جميع الطرز الوراثية فيه جيداً؛ وهو بذلك أفضل المواقع البيئية المختبرة في هذا البحث، بينما كانت التفاعلات الوراثية  $\{G6,G5,G14,G2,G12,G3\}$  البيئية كل من موقع درميني (الشعاع الأطول)، وانعكس ذلك على تباين أداء الطرز الوراثية فيما بينها في هذا الموقع، وكذلك الحال في عالية في موقع حمين وحربصون، وهي بذلك الأكثر مساهمة في التفاعلات الوراثية فيما بينها في هذا الموقع، وكذلك الحال في كل من موقع حمين وحربصون، وهي بذلك الأكثر مساهمة في التفاعلات الوراثية .

#### AMMI Yield from a RCB



الشكل (2): مخطط AMMI<sub>2</sub> قيم المكون الرئيس الأول PCA<sub>1</sub> للطرز الوراثية والمواقع البيئية المختبَرة مقابل قيم PCA<sub>2</sub>.

## قيمة ثباتية AMMI):

تمثِّل قيمة ثباتية PCA<sub>1</sub> مقابل قيم (AMMI Stability Value) AMMI قيم المسافة بين مركز مخطط PCA<sub>1</sub> مقابل قيم Purshase et al. (2000) وموقع الطراز الوراثي على المخطط، تبعاً لـ Purshase et al. (2000) وموقع الطراز الوراثي على المخطط، تبعاً لـ PCA<sub>2</sub> وموقع الطراز الوراثي على المخطط، تبعاً لـ PCA<sub>3</sub> المسافة بين مركز مخطط PCA<sub>4</sub> المسافة بين مركز مخطط PCA<sub>4</sub> المراقعة الموجبة أو المحسنة الم

السالبة إلى تكيف خاص مع موقع بيئي محدد، وتدلُّ القيم المنخفضة منها على ثباتية عالية وتكيف مع مدى واسع من التغيرات البيئية.

يبيّن الجدول (3) قيم A.S.V للطرز الوراثية المدروسة ومتوسط الغلة الحبية لكل طراز وراثي عبر المواقع البيئية المختبّرة، يلاحظ من الجدول أن قيم A.S.V الأدنى كانت لدى الطراز الوراثية G6 يليه G7 على التوالي، بينما امتلكت الطرز الوراثية G15 و G1 على التوالي، بينما امتلكت الطرز الوراثية G15 و G11 و G8 القيم الأعلى وهي بذلك الأقل ثباتيةً.

الجدول (3): متوسط الغلة الحبية للطرز الوراثية المدروسة عبر المواقع البيئية الأربعة، وقيم ثباتية A.S.V) AMMI) لكل طراز وراثى.

<b>2</b> 33 33 3 (	,	•-	•		<b>( )</b>
الترتيب	A.S.V	الترتيب	متوسط الغلة الحبية (طن/هـ)	الطراز الوراثي	الرمز
11	1.028	5	4.382 <sup>abc</sup>	السلالة دوما 66233	G1
8	0.654	3	4.419 <sup>ab</sup>	السلالة دوما 68010	G2
5	0.477	2	4.426 <sup>ab</sup>	السلالة دوما 66241	G3
3	0.438	1	4.528ª	السلالة دوما 66981	G4
6	0.526	7	4.242 <sup>cde</sup>	السلالة دوما 68467	G5
1	0.277	14	3.725 <sup>g</sup>	السلالة دوما 68498	G6
2	0.283	11	3.935 <sup>f</sup>	السلالة أكساد 1300	G7
13	1.469	13	3.897 <sup>f</sup>	السلالة أكساد 1302	G8
9	0.806	10	4.111e	السلالة أكساد 1304	G9
12	1.331	9	4.171 <sup>de</sup>	السلالة أكساد 1115	G10
14	1.538	4	4.387 <sup>abc</sup>	السلالة أكساد 1147	G11
7	0.594	15	3.630 <sup>g</sup>	الصنف بحوث 6	G12
10	0.880	12	3.930 <sup>f</sup>	الصنف دوما 4	G13
4	0.470	6	4.297 <sup>bcd</sup>	الصنف دوما 6	G14
15	2.736	8	4.199 <sup>de</sup>	الصنف جولان2	G15
L.S.D Geno 5%	0.147		$X^- = 4.152$	المتوسط العام	

<sup>\*</sup>تشير الأحرف المختلفة في الأعمدة إلى الفروق المعنوية بين الطرز الوراثية المدروسة عند مستوى 5% باستخدام اختبار دانكان.

يوضِّح الجدول (4) ترتيب الطرز الوراثية المدروسة في كل موقع بيئي مختبَر اعتماداً على تحليل AMMI، يبين التحليل أن الطرازين الوراثيين G10 و G11 كانا متفوقين في موقعَي حريصون وحمين، والطرازين (G3 و G15 متفوقان في موقعَي الغاب ودرميني، أما الطراز الوراثي G2 فقد تكرر تفوقه بمتوسط الغلة الحبية في 3 مواقع (حمين، الغاب، درميني).

الجدول (4): أفضل أربعة طرز وراثية في كل موقع مختبر تبعاً لتحليل AMMI.

متوسط الغلة الحبية في الموقع (طن/ه)	الطراز الوراثي الرابع	الطراز الوراثي الثالث	الطراز الوراثي الثاني	الطراز الوراثي الأول	الموقع
4.076	G10	G5	G11	G4	حربصون
4.015	G2	G10	G11	G3	حمين
4.201	G1	G15	G3	G2	الغاب
4.315	G2	G4	G1	G15	درميني

بناءً على قيم متوسط الغلة الحبية عبر البيئات ونتائج تحليل AMMI وقيم A.S.V فإنَّ أفضل الطرز الوراثية المدروسة هما الطرازان الوراثيان G4 و G3 لتميزهما بمتوسط غلة حبية عبر البيئات أعلى من المتوسط العام، وثباتية أداء عالية عبر المواقع المختبرة ويمثّلان الطراز الوراثي المثالي المرغوب من قبل مربّى النبات.

Omrani et al., 2022; Bayisa et al., 2020; Olivato et al., 2019; Kadhem and Baktash, ) تتفق هذه النتائج مع (2016; Bavandpori et al., 2015; Ilker et al., 2011; Farshadfar et al., 2011; Tarakanovas and الذين أشاروا إلى امكانية تحقيق الانتخاب المتزامن لكل من الغلة المتفوقة والثباتية العالية وتحديد الموقع البيئي (AMMI Biplot في القمح الطري باستخدام طريقة

#### الاستنتاجات:

- 1. أفاد تحليل الثباتية وفق طريقة AMMI في تفسير تأثيرات التفاعلات الوراثية x البيئية بيانياً وتحليل ثباتية الطرز الوراثية المدروسة، وتحديد الطرز الوراثية المتفوقة في الغلة وذات الثباتية العالية.
- 2. وجود فروق معنوية بين الطرز الوراثية المدروسة، المواقع البيئية المختبرة، والتفاعل بينهما مما يؤكد ضرورة تحليل ثباتية الطرز الوراثية المدروسة، كما فسَّر المكونان الرئيسان الأول والثاني 88% من التباينات الكلية، مما يدل على فعالية وكفاءة نموذج AMMI في تحليل وتفسير التفاعلات الوراثية x البيئية الحاصلة.
- 3. وفقاً لتحليل AMMI: كانت السلالتان المبشرتان دوما 68498 ودوما 68467 الأكثر ثباتية عبر جميع المواقع البيئية المختبرة، بينما تكيف الصنف جولان 2 بشكل خاص مع موقع درميني، وتكيفت السلالتان المبشرتان أكساد 1147 و أكساد 1115 مع موقعي حمين وحريصون، وكان موقع الغاب أفضل المواقع البيئية المختبرة، ووفقاً لقيم ثباتية AMMI أكساد (A.S.V) تميزت السلالة دوما 68498 تليها السلالة أكساد 1300 بثباتية عالية.
- 4. تفوقت السلالتان المبشرتان دوما 66981 ودوما 66241 على جميع الطرز الوراثية المدروسة في متوسط الغلة الحبية وثباتية
   الأداء عبر جميع المواقع البيئية المختبرة.

#### التوصيات:

لتقليل تأثير التفاعلات الوراثية x البيئية ولتحسين دقة وكفاءة انتخاب الطرز الوراثية المتفوقة لابدً من أخذ كلٍ من متوسط الغلة وثباتية الأداء بعين الاعتبار بشكل متزامن عند تقييم واعتماد الأصناف الجديدة في برامج التربية.

#### المراجع:

- Annicchiarico P. (2002). Defining adaptation strategies and yield stability targets in breeding programmes. In M.S. Kang, ed. Quantitative Genetics, Genomics, and Plant Breeding. 365–383. Wallingford, UK, CABI.
- Bavandpori, F.; J. Ahmadi; and S.M. Hossaini. (2015). Yield stability analysis of bread wheat lines using AMMI model. Agricultural Communications. 3(1): 8-15.

- Bayisa, T.; M. Abera; T. Letta; and B. Mulugeta. (2020). stability analysis of bread wheat genotypes using the AMMI stability model. In Regional Review Workshop on Completed Research Activities. (Vol. 61).
- Ebdon, J. S.; and H. G. Gauch. (2002). Additive main effect and multiplicative interaction analysis of national turfgrass performance trials. II Cultivar Recommendations. Crop Science 42, 497–506.
- Farshadfar, E.; N. Mahmodi; and A. Yaghotipoor. (2011). AMMI stability value and simultaneous estimation of yield and yield stability in bread wheat (*Triticum aestivum* L.). Aust. Jour. Crop Sci. (13):1837-1844.
- Gabriel, K.R. (1971). The biplot graphic display of matrices with application to principal component analysis. Biometrika, **58**(3), 453–467.
- Gauch H. G.; H. P. Piepho; and P. Annicchiarico. (2008). Statistical analysis of yield trials by AMMI and GGE: Further considerations. Crop science, 48(3), 866-889.
- Gauch H.G.(2013). A simple protocol for AMMI analysis of yield trials. Crop Science: (in press).
- Gauch, H. G. (1996). Genotype-by-environment interaction. New York: CRC Press, p.85-122.
- Gauch, H. G. (2006). Statistical Analysis of Yield Trials by AMMI and GGE, Maio 18.
- Gauch, H.G. (1988) Model selection and validation for yield trials with interaction. Biometrics, 44, 705-715.
- Gauch, H.G; and R. W. Zobel. (1997). Identifying mega-environments and targeting genotypes. Crop Science. 37, 311–326.
- Gauch, H.G; and R. W. Zobel. (1996). AMMI analysis of yield trials. In Kang, M.S. and H. G. Gauch. (eds): Genotype by Environment Interaction. Boca Raton: CRC Press, pp. 85–122.
- Gollob, H.F.(1968). A statistical model which combines feature of factor analytic and analysis of variance techniques. Psychometrika. 33: 73–115.
- Ilker, E.; H. Geren; R. Ünsal; I. Sevim; F.A. Tonk; and M. Tosun. (2011). AMMI-biplot analysis of yield performances of bread wheat cultivars grown at different locations. Turkish Journal of Field Crops, 16(1), 64-68.
- Kadhem, F.A.; and F. Y. Baktash. (2016). AMMI analysis of adaptability and yield stability of promising lines of bread wheat (*Triticum aestivum* L.). The Iraqi Journal of Agricultural Sciences, 47(special issue), 35-43.
- Kang, M.S. (2020). Genotype–Environment interaction and stability analyses: An update. In Quantitative Genetics, Genomics and Plant Breeding; Kansas State University, Manhattan, KS, USA.
- Kang, M.S.; V.T. Prabhakaran; and R. B. Mehra. (2004). Genotype-by-environment interaction in crop improvement. In: Jain, H.K., Kharkwal, M.C. (eds) Plant Breeding. Springer, Dordrecht.
- Kaya, Y.; C. Palta; and S. Taner. (2002). Additive main effects and multiplicative interactions analysis of yield performances in bread wheat genotypes across environments. Turk J. Agric. For. 26, 275–279.
- Mansour and Khoury-Syrian Journal of Agriculture Research-SJAR 12(4):585-596 August 2025

- Malik, W.A; J.F. Hadasch; and H.P. Piepho. (2018). Nonparametric resampling methods for testing multiplicative terms in AMMI and GGE models for multi-environment trials. Crop Science, Vol. 58, March–April.
- Mohammed, M. I. (2009). Genotype x Environment interaction in bread wheat in northern Sudan using AMMI analysis. American-Eurasian J. Agric. and Environ. Sci., 6 (4): 427-433.
- Neisse, A.C.; J.L. Kirch; K. Hongyu. (2018). AMMI and GGE biplot for genotype × environment interaction: a medoid–based hierarchical cluster analysis approach for high–dimensional data. Biometrical Letters.
- Olivoto, T.; A.D.C. Lúcio; J.A.G. da Silva; V.S. Marchioro; V.Q. Souza; E. Jost. (2019). Mean performance and stability in multi-environment trials I: Combining features of AMMI and BLUP techniques. Agronomy Journal. 111, 1–12.
- Omrani, A.; S. Omrani; M. Khodarahmi; S.H. Shojaei; Á. Illés; C. Bojtor; S.M.N. Mousavi; and J. Nagy. (2022). Evaluation of grain yield stability in some selected wheat genotypes using AMMI and GGE biplot methods. Agronomy Journal, 12(5), 1130.
- Pupin, S.; P.H.M. Silva; F.A. Piotto; A.C. Miranda; D.U.G. Zaruma; A.M. Sebbenn; and M.L.T. Moraes. (2018). Genotype x Environment interaction, stability, and adaptability in progenies of Eucalyptus urophylla S.T. BLAKE using the AMMI model. Genetica. 67, 51 56.
- Purchase, J. L.; H. Hatting; and C.S. Van Deventer. (2000). Genotype × environment interaction of winter wheat (*Triticum aestivum* L.) in South Africa: II. Stability analysis of yield performance. South African Journal of Plant and Soil, 17(3), 101-107.
- Purchase, J.L. (1997). Parametric analysis to describe genotype by environment interaction and stability in winter wheat. PhD Thesis. Department of Agronomy, Faculty of Agriculture, University of the Orange Free State, Bloemfonten, South Africa.
- Singh, M.; S. Grando; and S. Ceccarelli. (2006). Measures of repeatability of genotype by location interactions using data from barley traits in Northern Syria. Expl Agric. Cambridge University Press. 42. 189-198.
- Smith, L. I. (2002). A tutorial on principal components analysis. Department of Computer Science, University of Otago. New Zealand.
- Tarakanovas P.; and V. Ruzgas. (2006). Additive main effect and multiplicative interaction analysis of grain yield of wheat varieties in Lithuania. Agronomy research 4(1):91-98.
- Vargas, M.H.; and J. Crossa. (2000). The AMMI analysis and graphing the biplot. CIMMYT. 39 P.
- Yan, W.; M.S. Kang; M. Baoluo; S. Woods; and P.L. Cornelius. (2007). GGE biplot vs. AMMI analysis of genotype-by-environment data. Crop Science, 47(2), 643–653.

# Genotype x environment interactions and yield stability analysis of bread wheat genotypes by using AMMI biplot model

Hiba Mohammad Mansour\*(1) Boulos Iskander Khoury(1)

(1). Field Crops Department, Faculty of Agriculture, Tishreen University, Lattakia, Syria.

(\* Corresponding author: Hiba Mansour, email: <a href="mailto:hibamuhammedmansour@gmail.com">hibamuhammedmansour@gmail.com</a>)

Received: 25/2/2024 Accepted: 9/5/2024

#### **Abstract**

Additive main effects and multiplicative interactions (AMMI) model was performed to assess genotype x environment interactions and yield stability for 15 bread wheat genotypes in 4 various locations in Syria (AL-Ghab, Hraison, Himmin, and Darmini) during 2020-2021 season, the experiment was designed using randomized complete block design (R.C.B.D) with three replications in the four locations, the data were statistically analysis using GenStat 12th program. AMMI Biplot analysis combines pooled analysis and principal components analysis (PCA). The results of the pooled analysis showed that there were significant differences between genotypes (G), the tested locations (E), and the interaction between them (GxE), this indicates the necessity of evaluating and testing genotypes in many different locations. The results of variation analysis according to the AMMI model showed that the first and second principal components were significant and explained 88% of the total variances; this indicates the efficiency of this model in representing and interpreting the genotype x environment interactions. AMMI Stability Value (A.S.V) was also estimated to rank the studied genotypes according to their stability; depending on this value the promising line Douma68498 followed by the promising line ACSAD1300 had high stability. The results of AMMI Biplot analysis illustrated that the most stable genotypes were the two promising lines Douma68498 and Douma68467, and the variety Gollan2 showed specific adaptation and good suitability to the Darmini site, while the two promising lines ACSAD1147 and ACSAD1115 adapted to Himmin and Hraison sites. The results also showed that the AL-Ghab site was the best location. The best-studied genotypes that combined superior yield and high stability are the promising lines Douma66241 and Douma66981, representing the ideal genotype desired by plant breeders. This study showed that the AMMI model's parameters give similar indicators for determining stable genotypes, and they are useful in improving the selection process and releasing new varieties in plant breeding programs using the AMMI Biplot.

**Keywords**: AMMI Biplot, Bread Wheat, Yield Stability, Principal Components Analysis, Ideal Genotype, A.S.V Value.